### Plan du cours

- 1. Aérosols produits par processus mécaniques
- 2. Aérosols produits par processus chimiques
- 3. Processus de mélange

4. Techniques d'identification et de modélisation

Episodes de pollution aux particules communs en atmosphères urbaines

1952 London smog

Fortes [SO<sub>2</sub>] et [particules] et présence d'un brouillard dense

#### Excès de mortalité associé au smog

Année	localisation	mortalité excédentaire
1930	Vallée de la Me	euse 63
1948	Donora, Penns	ylvanie 20
1952	Londres	4000
1962	Londres	700

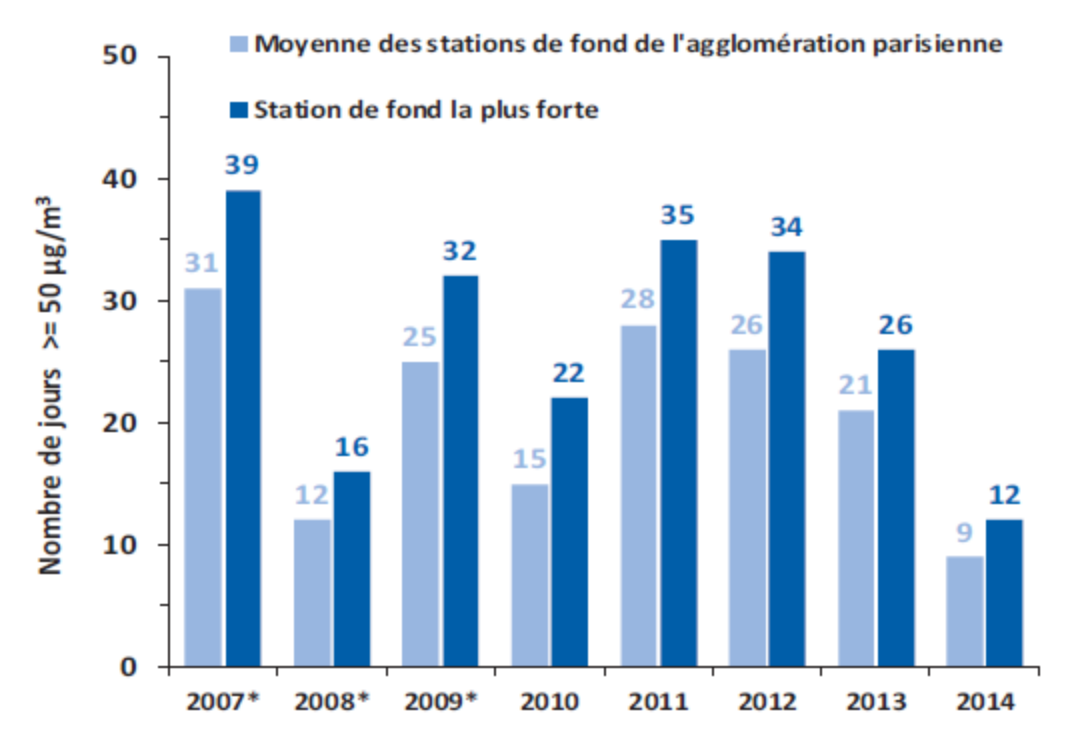


#### Episodes de pollution aux particules communs en atmosphères urbaines



Episode du 18-21 mars 2015,  $[PM_{10}]$  = 99  $\mu g.m^{-3}$ 

Seuil d'information fixé à 50 μg/m³ en moyenne sur 24h Seuil d'alerte fixé à 80 μg/m³ en moyenne sur 24h



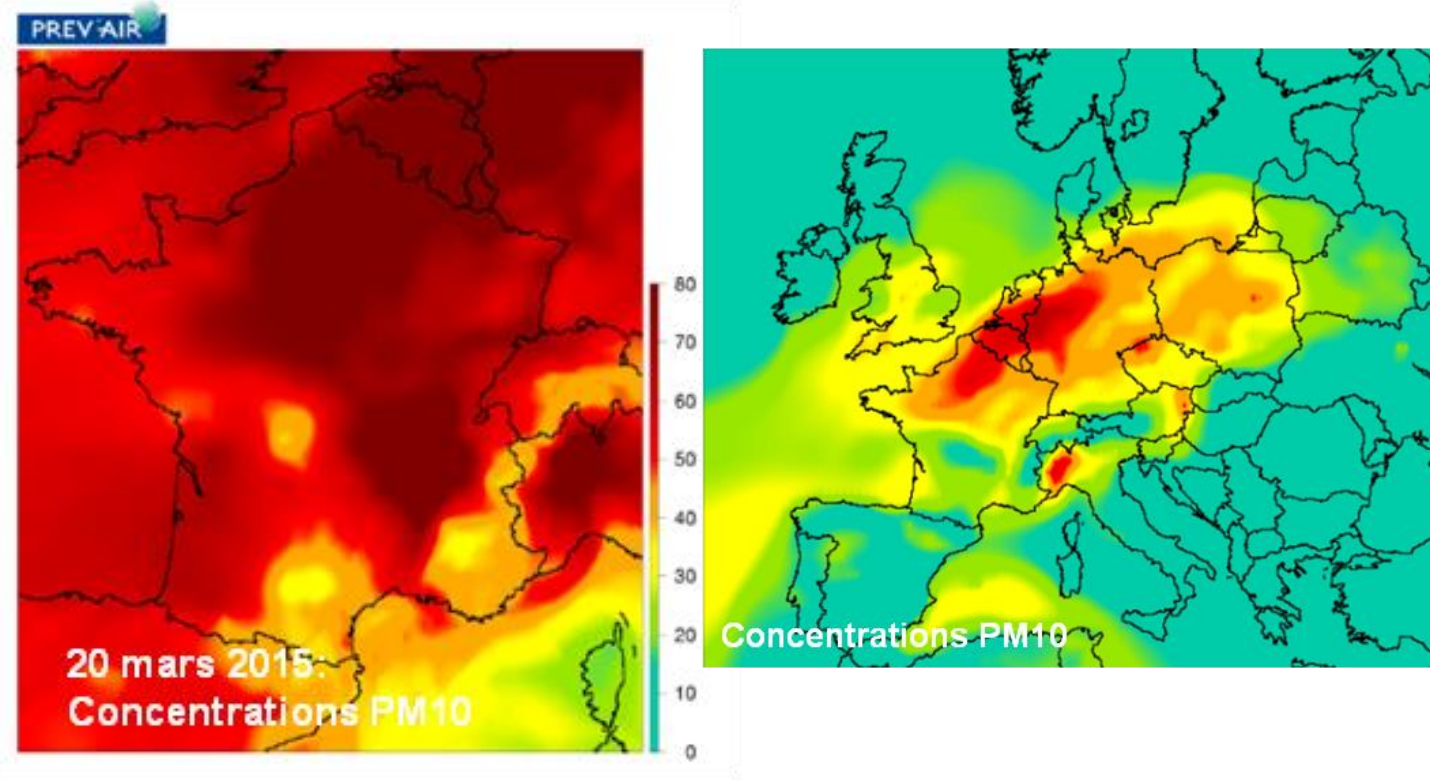
\* dépas sements calculés avec le seuil inclus

Données AirParif

Episodes de pollution aux particules communs en atmosphères urbaines

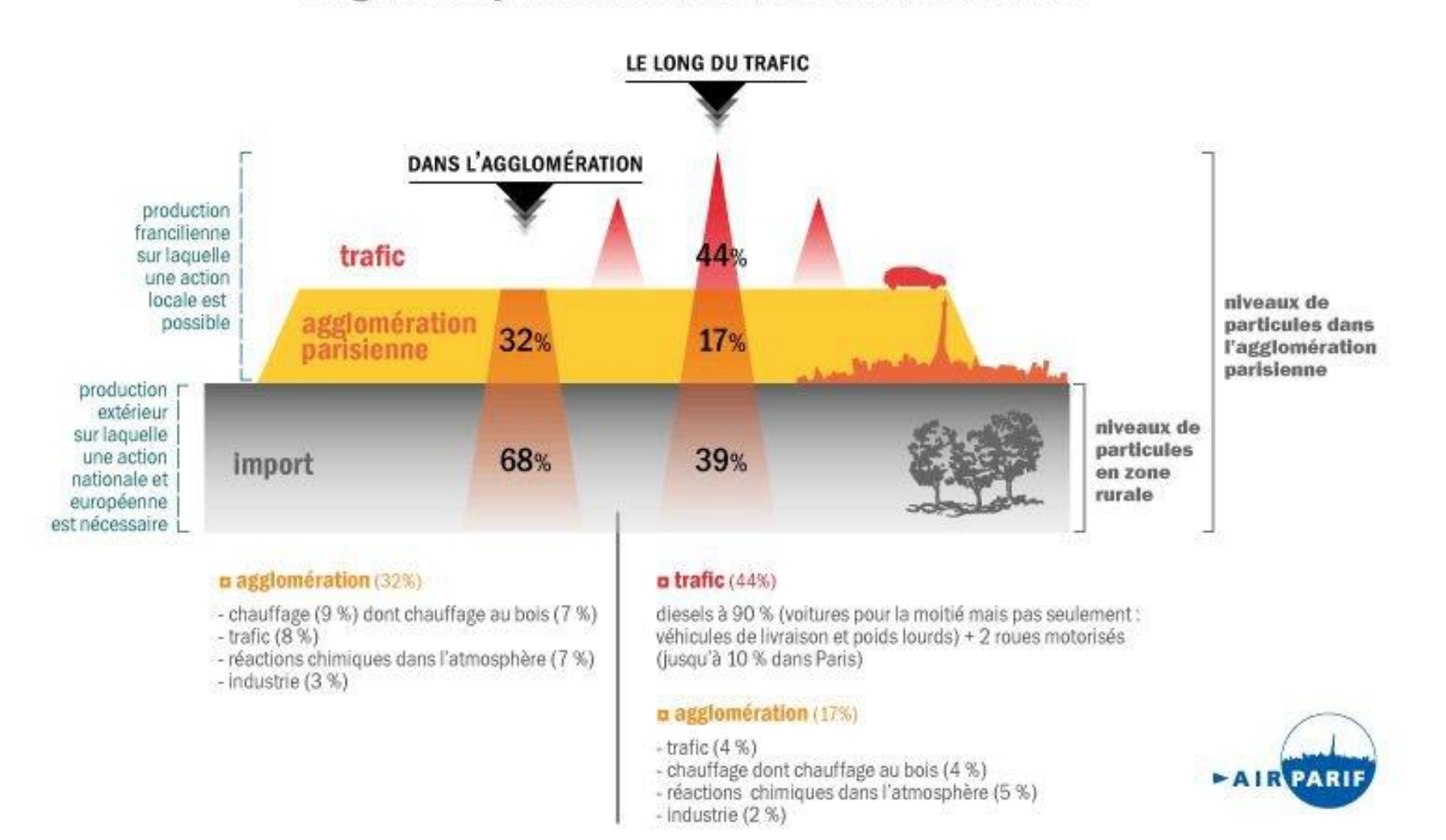


Episode du 18-21 mars 2015,  $[PM_{10}]$  = 99  $\mu g.m^{-3}$ 

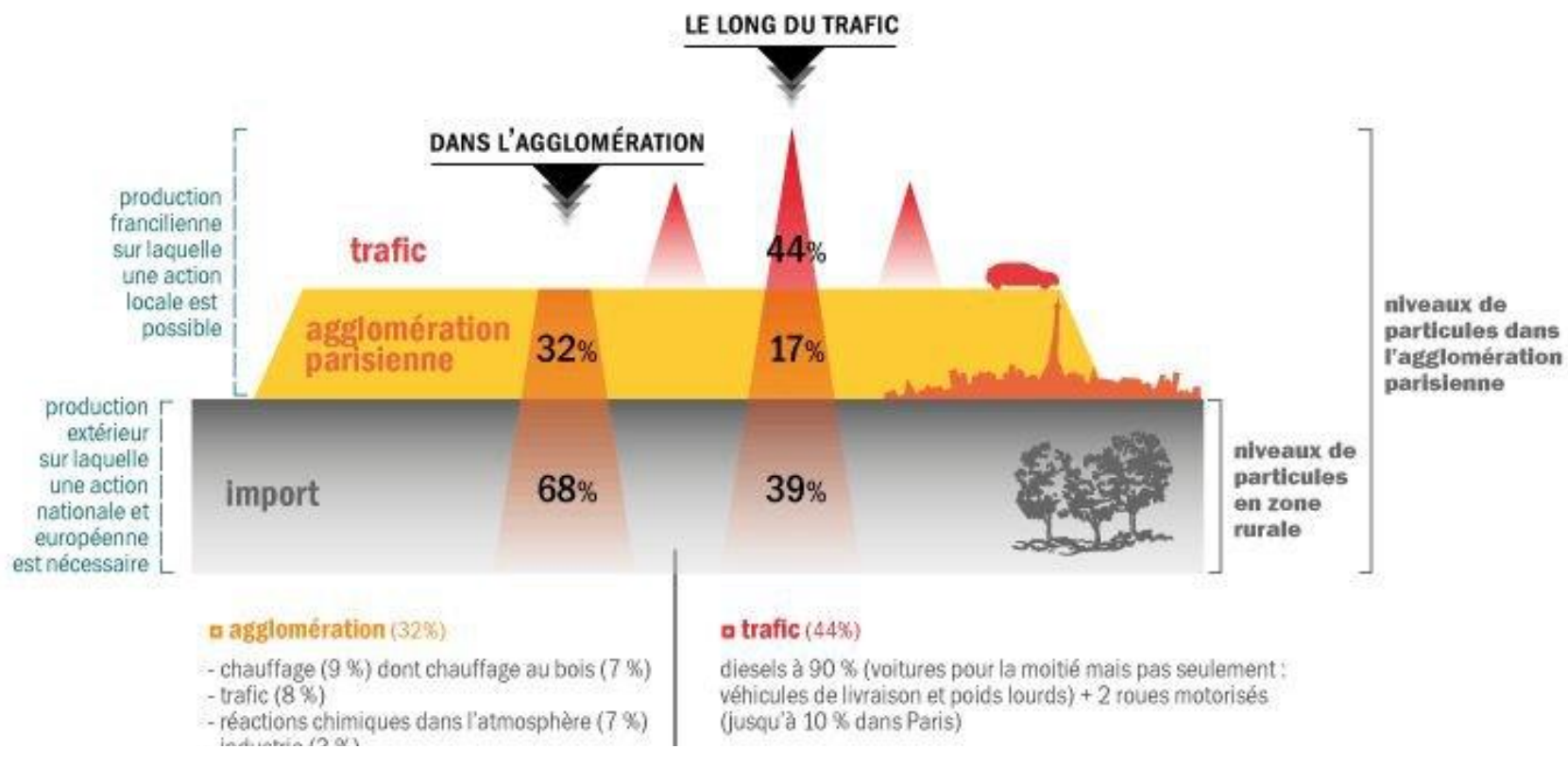


Sources identifiées: trafic routier, chauffage résidentiel, industrie mais aussi les activités agricoles intensifiées en Europe de l'Ouest à cette période de l'année (du fait de l'épandage des engrais azotés).

#### Origine des particules observées en Île-de-France

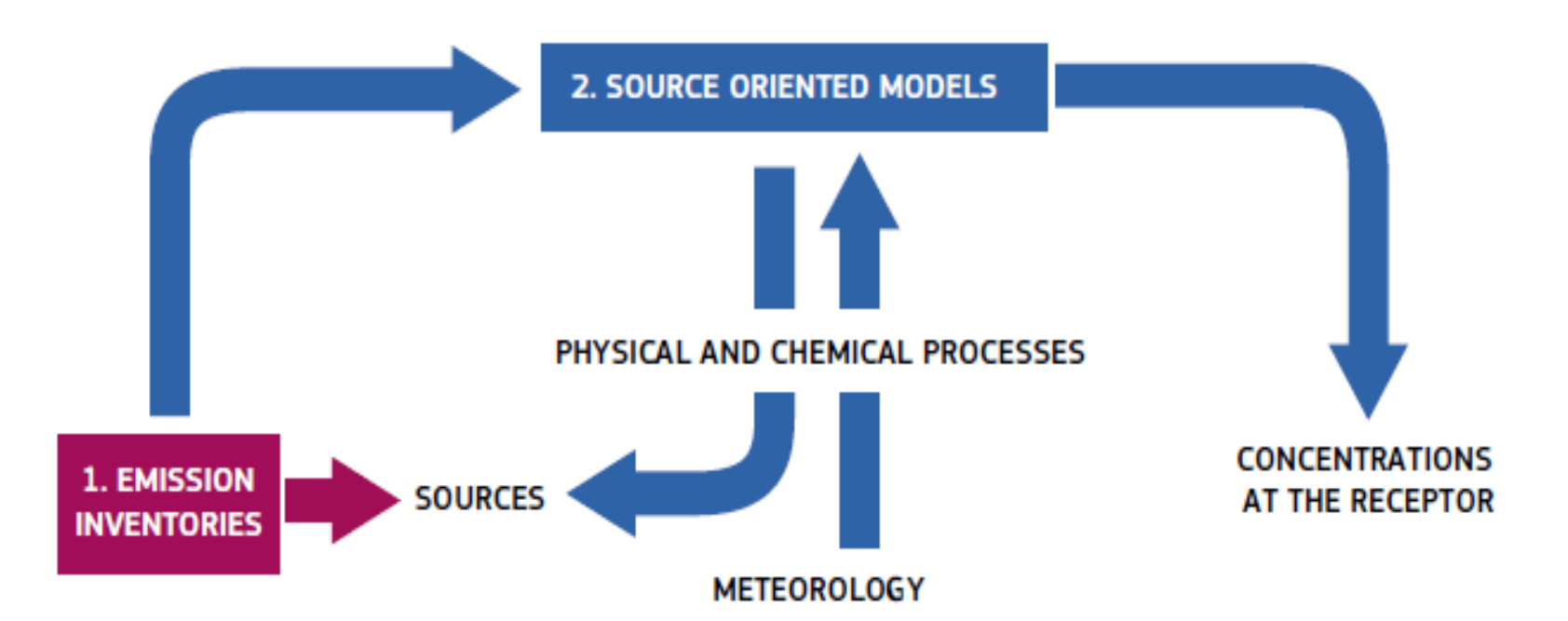


#### Origine des particules observées en Île-de-France

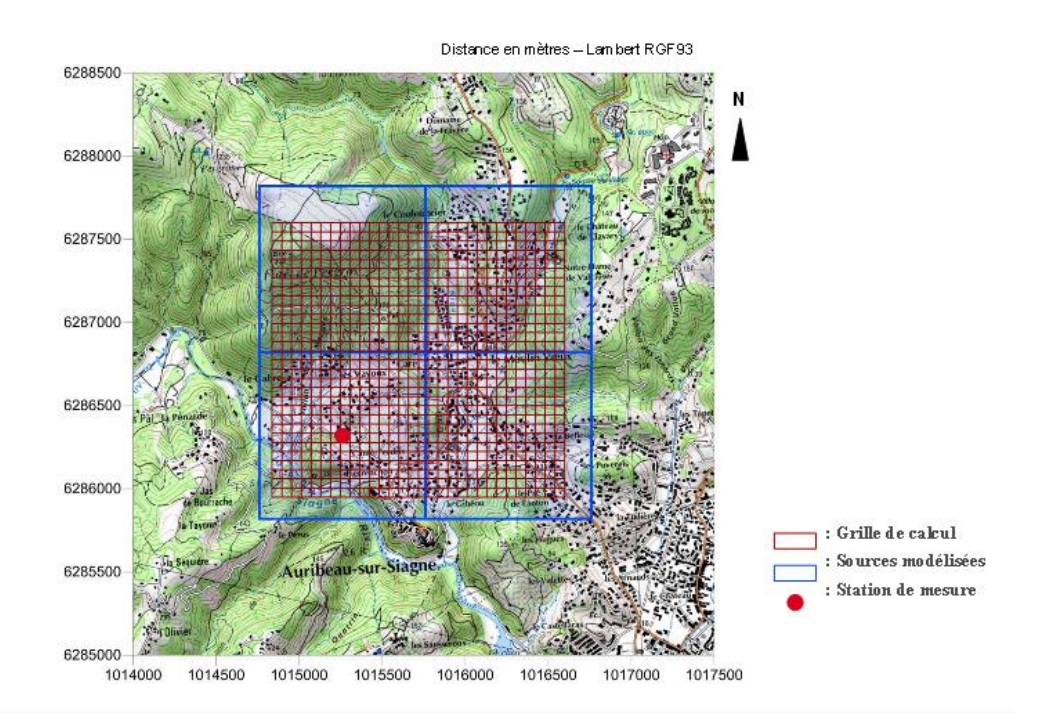


Nécessité de connaître les sources pour savoir où agir...

- → Méthodologie par modélisation déterministe à partir de cadastres d'émission
  - → Nécessité d'avoir des bons cadastres d'émission
  - → Nécessité d'avoir une bonne représentation de la chimie atmosphérique



- → Méthodologie par modélisation déterministe à partir de cadastres d'émission
  - → Nécessité d'avoir des bons cadastres d'émission
  - → Nécessité d'avoir une bonne représentation de la chimie atmosphérique



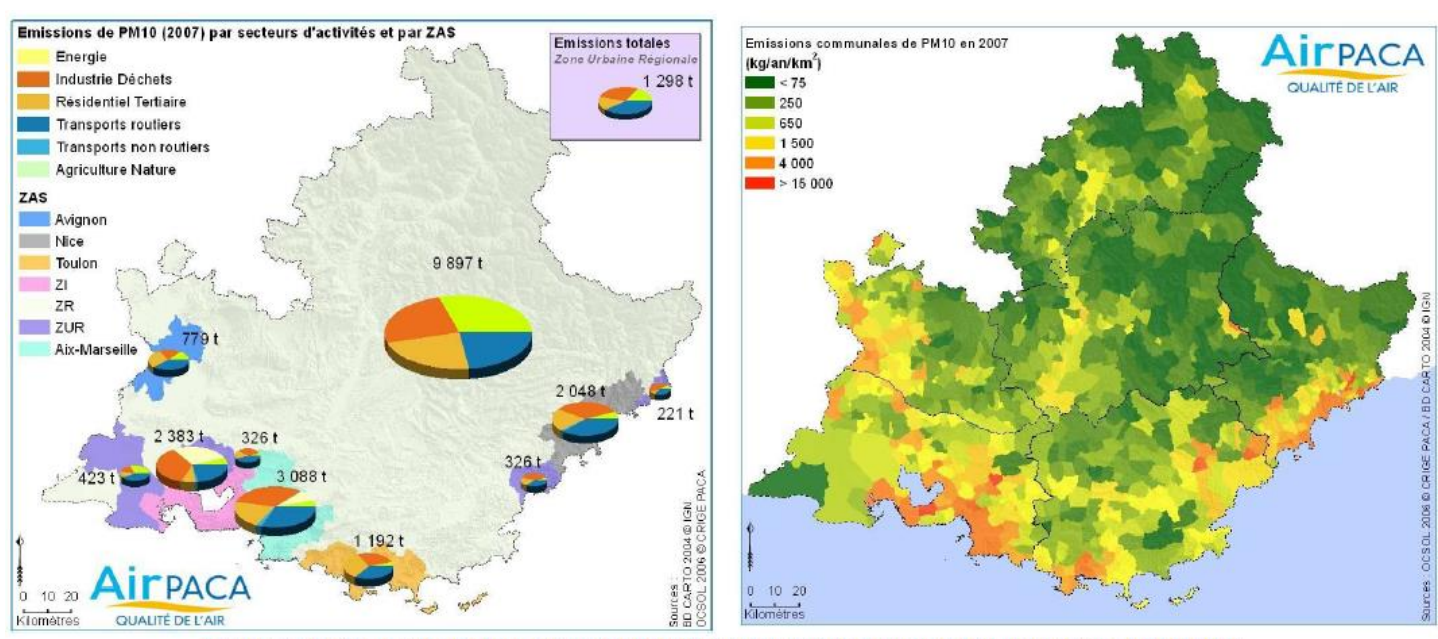
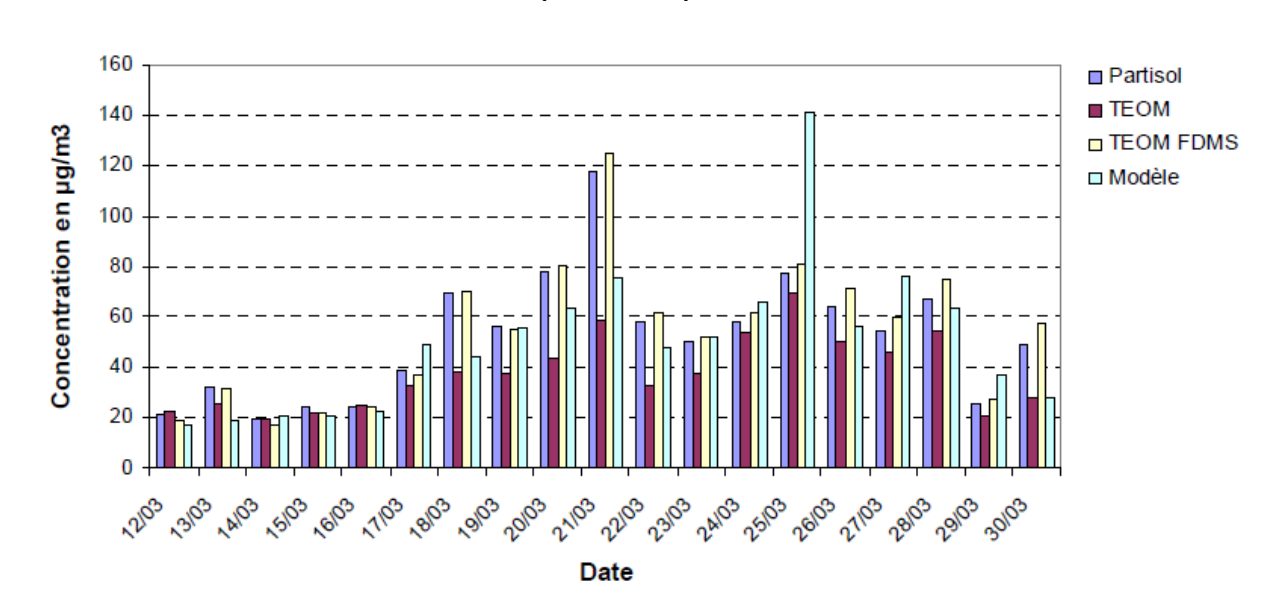
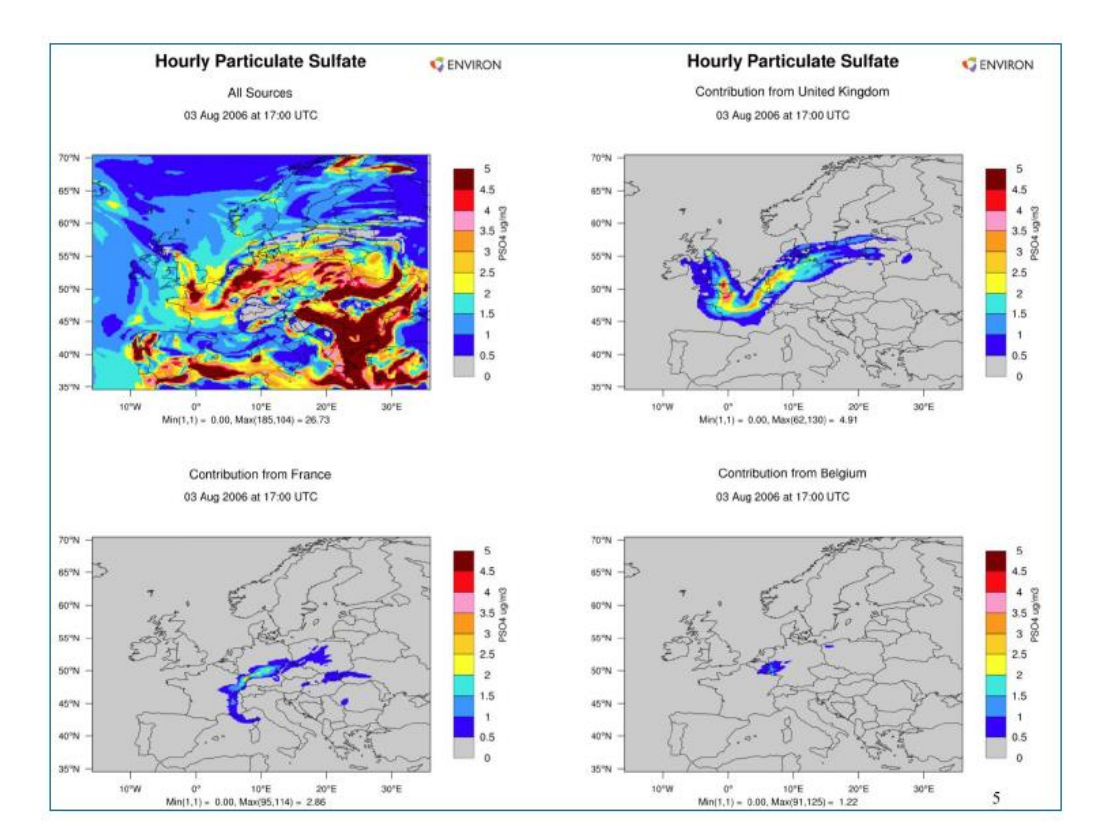


Figure 3 : Cartes des émissions en particules fines PM 10 de la région PACA, inventaire PACA 2007

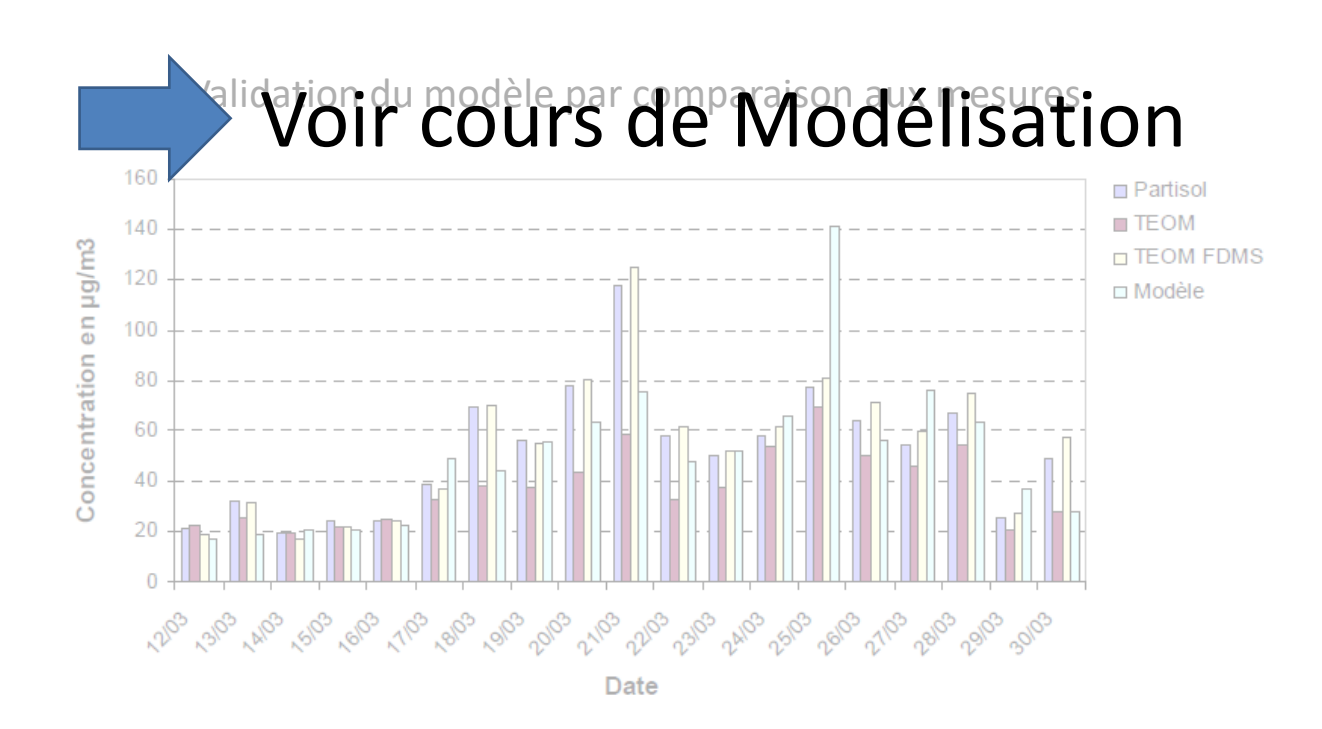
- → Méthodologie par modélisation déterministe à partir de cadastres d'émission
  - → Possibilité de distinguer les différentes contributions extérieures
  - → Possibilité de faire des scénario futurs

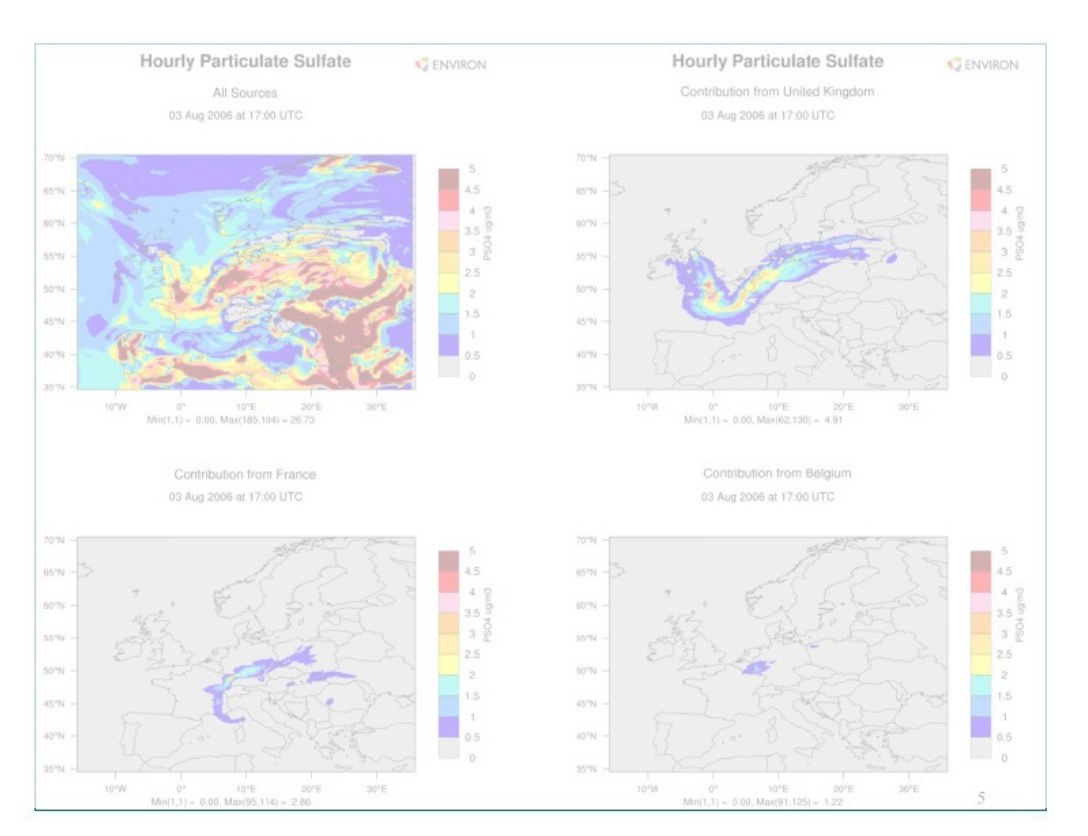
Validation du modèle par comparaison aux mesures





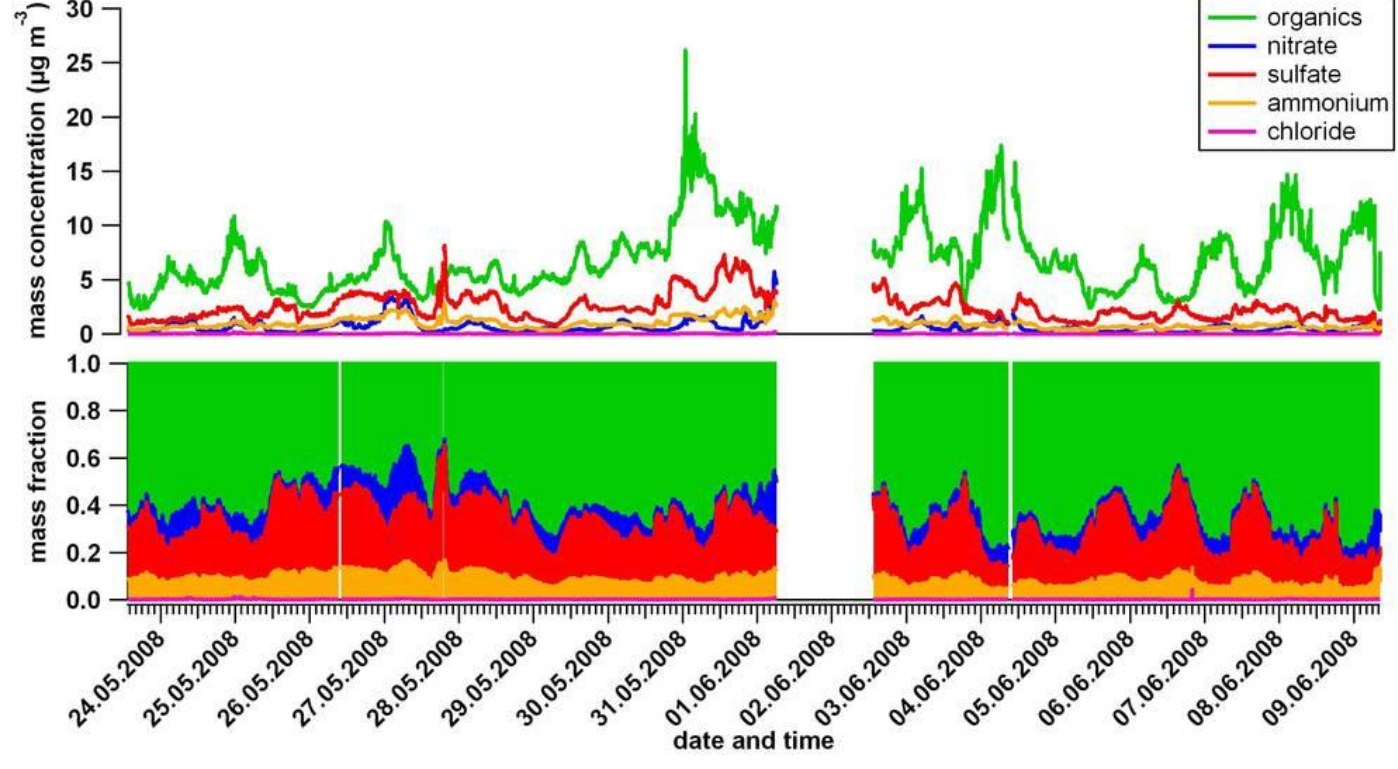
- → Méthodologie par modélisation déterministe à partir de cadastres d'émission
  - → Possibilité de distinguer les différentes contributions extérieures
  - → Possibilité de faire des scénario futurs





→ Méthodologie source-récepteur à partir de mesures chimiques

d'aérosols



- → 1. Utilisation de marqueurs de sources
- → 2. Utilisation de modèles mathématiques empiriques (excepté méthodologie isotopique)

#### Méthodes basées sur l'utilisation:

- 1. D'espèces traceurs de sources: issues d'une source, identique quelque soit la situation géographique et temporelle
- 2. D'espèces indicatrices de sources: dont la présence dans un échantillon est témoin de la contribution d'une ou plusieurs sources
- 3. De la combinaison caractéristiques d'espèces chimiques = profils chimiques types.

• Méthodes d'estimations des traceurs ou des profils:



Emission par la cuisine



Emission industrielle



#### 1. Les traceurs spécifiques connus:

- Aérosols marins: Na
  - En rapport molaire → [sels marins] = 2.54 [Na<sup>+</sup>]
  - En prenant en compte les autres constituants des sels de mer et la perte de Cl au cours du transport:

```
[sels marins] = [Cl^{-}]+[Na^{+}](1+(K^{+}/Na^{+})_{edm}+(Mg^{2+}/Na^{+})_{edm}+(Ca^{2+}/Na^{+})_{edm}+(SO_{4}^{2-}/Na^{+})_{edm})

\Leftrightarrow [sels marins] = [Cl^{-}]+1.47 [Na<sup>+</sup>]
```

- Poussières terrigènes: Al
  - En rapport massique  $\rightarrow$  [dust] = [AI]/0.07
  - En prenant en compte les autres constituants sous forme d'oxydes:

$$[dust] = 2.20 [Al] + 2.49 [Si] + 2.42 [Fe] + 1.63 [Ca] + 1.94 [Ti]$$

### 1. Les traceurs spécifiques connus:

#### - Cas du carbone:

carbonaceous	organic/elemental	primary/secondary	fossil, biomass, burning, biogenic	how is it estimated?	
Total carbon (TC)	Elemental carbon (EC)	(only primary)	Fossil fuel (EC <sub>FF</sub> )	by subtracting EC <sub>BB</sub> from measured EC	
			Biomass buming (EC <sub>gg</sub> )	from OC <sub>BB</sub> and the OC/ EC emission ratio for _ wood burning	2. OC <sub>BB</sub> /EC <sub>BB</sub> = 10 (gamme de 4-25)
	Organic carbon (OC)	Primary organic carbon (POC)	Fossil fuel (OC <sub>FF</sub> )	from EC <sub>FF</sub> and the OC/ EC ratio for fossil-fuel combustion	<ul> <li>3. OC<sub>FF</sub>/EC<sub>FF</sub> = 1.2 (moyenne entre essence et diesel)</li> <li>1a. Produit de la combustion de la</li> <li>cellulose → ratio OC<sub>BB</sub> / Levo= 7.35 (gamme de 1.9-23.5)</li> <li>1b. Constituant des membranes des</li> </ul>
			Biomass buming (OC <sub>BB</sub> )	from levoglucosan and the OC/levoglucosan ratio for wood burning	
			Biogenic (OC <sub>BIO</sub> )	derived from cellulose and the OC/cellulose emission ratio	
		Secondary organic carbon (SOC)	Fossil fuel (SOC <sub>FF</sub> )  Biomass burning (SOC <sub>BE</sub> )	using the radiocarbon measurement of TC	bioaérosols→ ratio cellulose/OC <sub>Bio</sub> = 0.5

### 1. Les traceurs spécifiques connus:

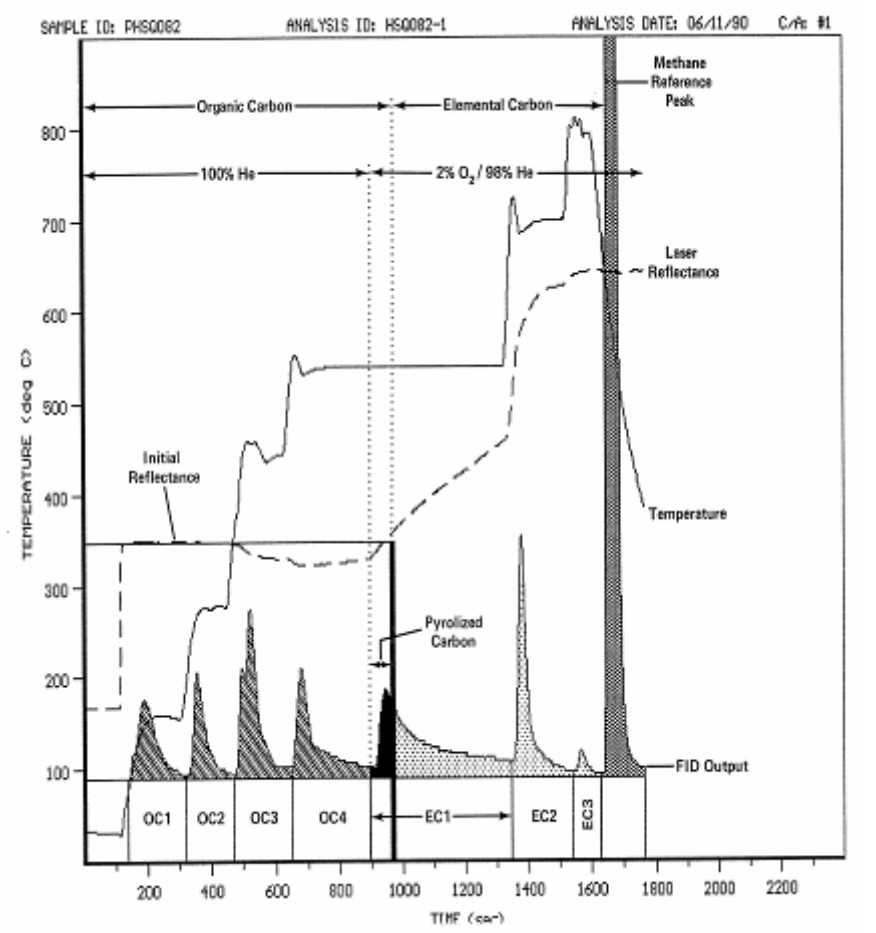
#### - Cas du carbone:

carbonaceous	organic/elemental	primary/secondary	fossil, biomass, burning, biogenic	how is it estimated?	
Total carbon (TC)	Elemental carbon (EC)	(only primary)	Fossil fuel (EC <sub>FF</sub> )	by subtracting EC <sub>BB</sub> from measured EC	
			Biomass buming (EC <sub>98</sub> )	from OC <sub>BB</sub> and the OC/ EC emission ratio for _ wood burning	2. OC <sub>BB</sub> /EC <sub>BB</sub> = 10 (gamme de 4-25)
	Organic carbon (OC)	Primary organic carbon (POC)	Fossil fuel (OC <sub>FF</sub> )	from EC <sub>FF</sub> and the OC/ EC ratio for fossil-fuel combustion	3. OC <sub>FF</sub> /EC <sub>FF</sub> = 1.2 (moyenne entre essence et diesel)
			Biomass buming (OC <sub>BB</sub> )	from levoglucosan and the OC/levoglucosan ratio for wood buming	1. Levo/OC <sub>BB</sub> = 7.35 cellulose/OC <sub>Bio</sub> = 0.5
			Biogenic (OC <sub>BIO</sub> )	derived from cellulose and the OC/cellulose emission ratio	
		Secondary organic carbon (SOC)	Fossil fuel (SOC <sub>FF</sub> )  Biomass burning (SOC <sub>BB</sub> )	using the radiocarbon — measurement of TC	4. Ratio $^{14}\text{C}/^{12}\text{C}$ : estimation de l'âge du carbone $f_{\text{actuel}} = (^{14}\text{C}/^{12}\text{C})_{\text{actuel}} = 1.1$

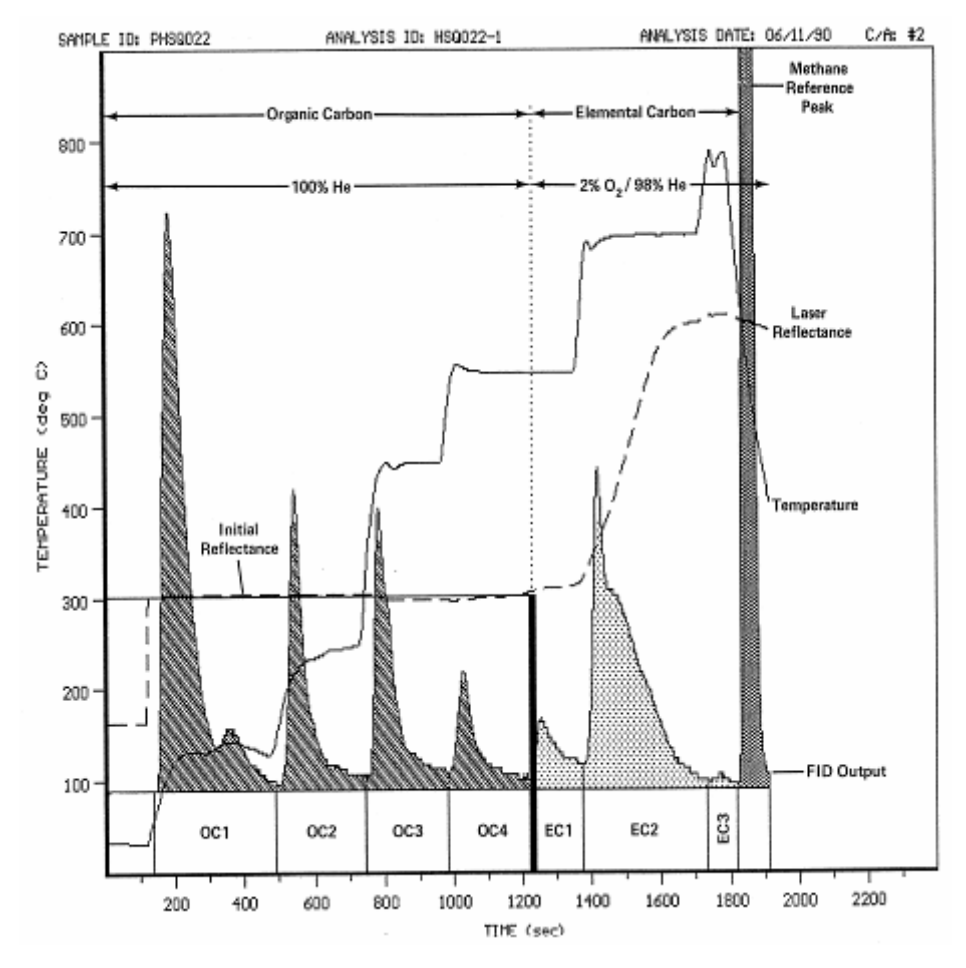
#### 3. Les Profils de sources:

- Cas du carbone :

#### Véhicules essence

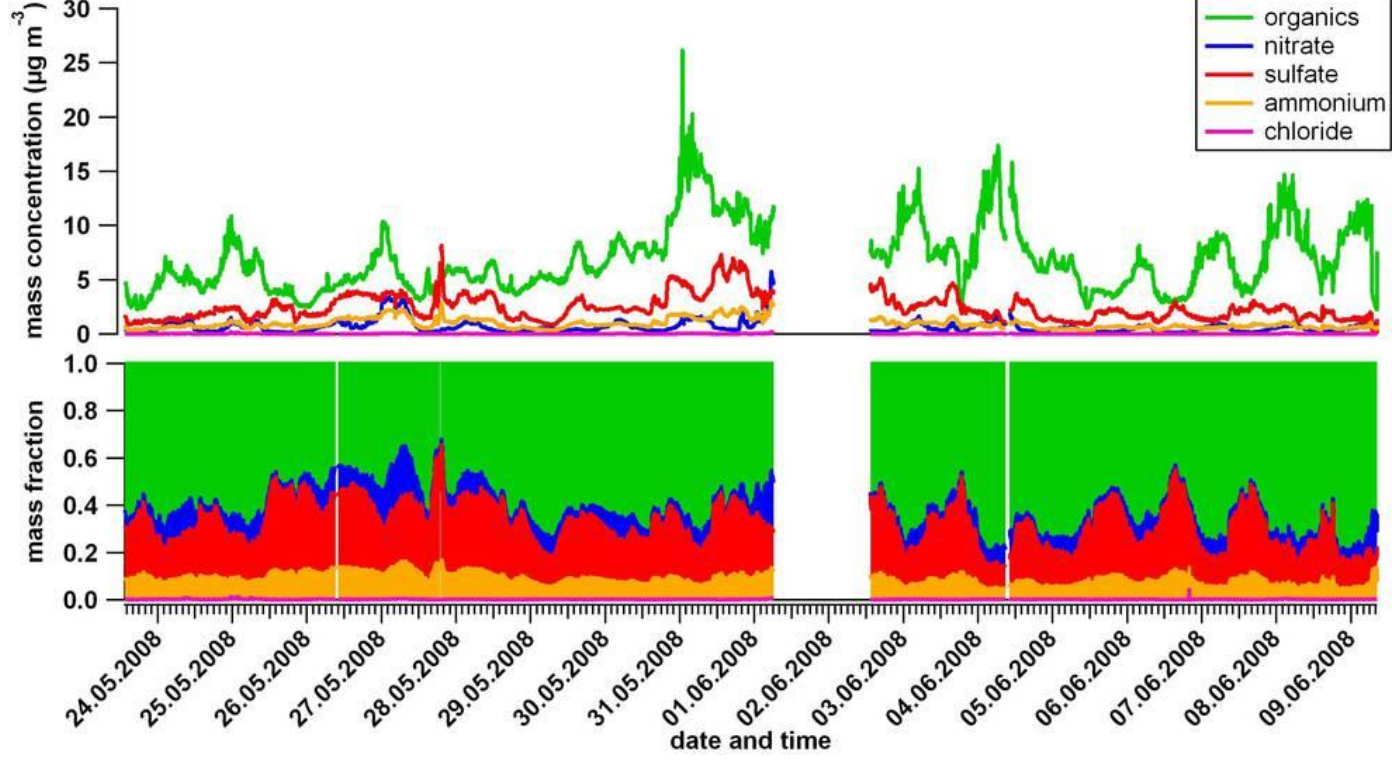


#### Véhicules diesel



→ Méthodologie source-récepteur à partir de mesures chimiques

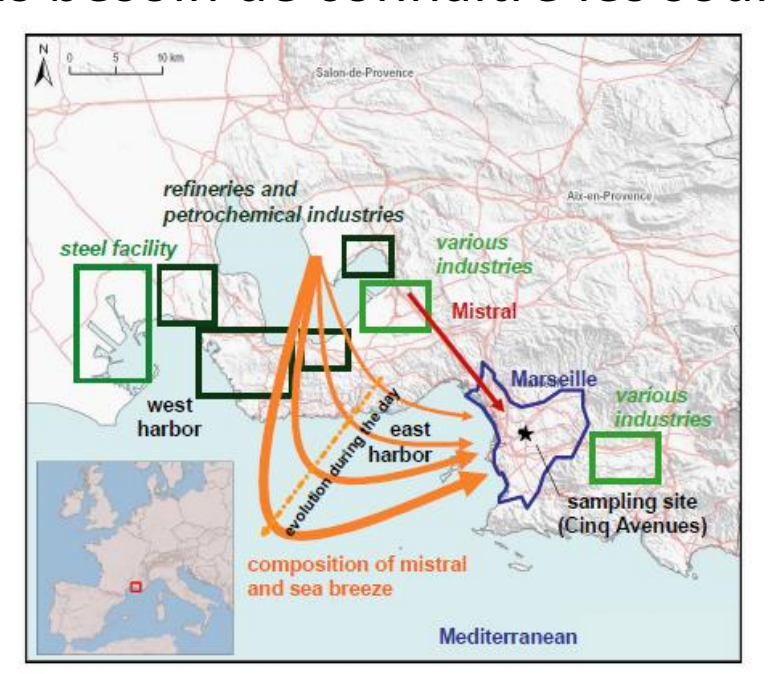
d'aérosols

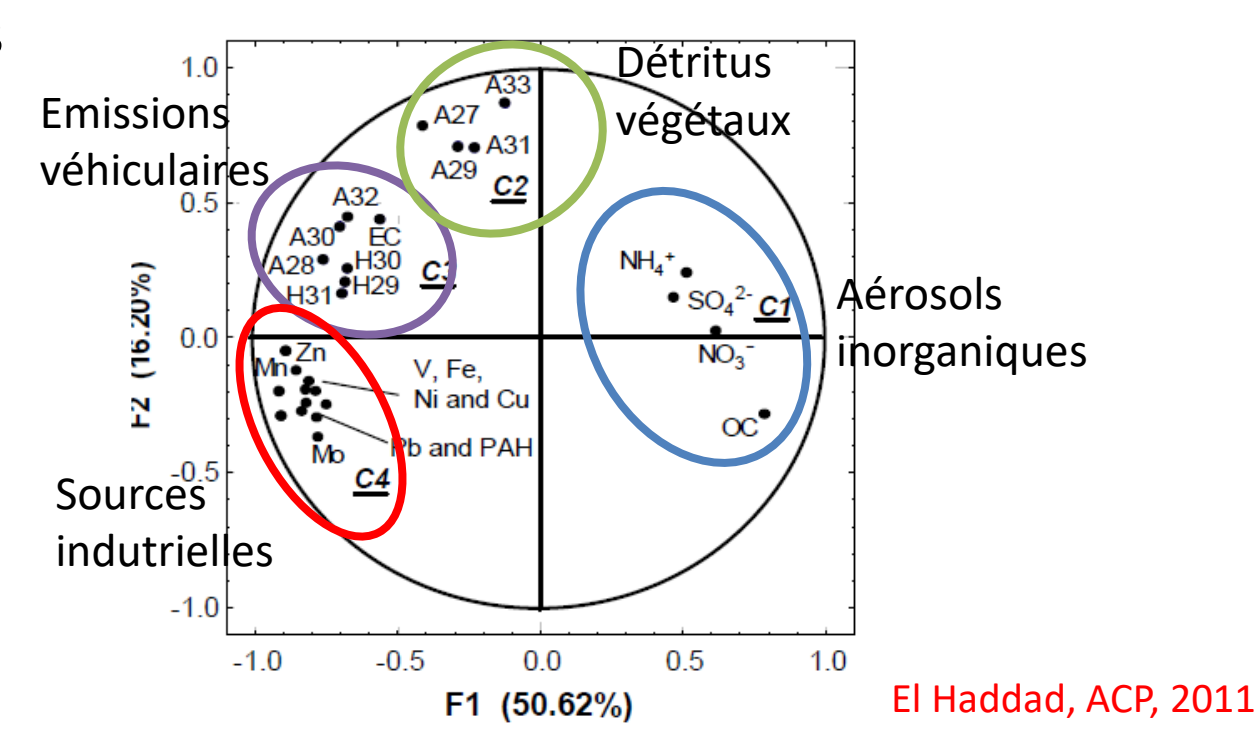


- → 1. Utilisation de marqueurs de sources
- → 2. Utilisation de modèles mathématiques empiriques (excepté méthodologie isotopique)

#### Les Profils de sources:

- → Méthode ACP: Analyse en Composantes Principales
  - composantes principales = des combinaisons linéaires des variables de départ correspondant aux directions de plus grande variance → logiciel statistique
  - Pas besoin de connaître les sources





#### 1. Le modèle CMB (Chemical Mass Balance):

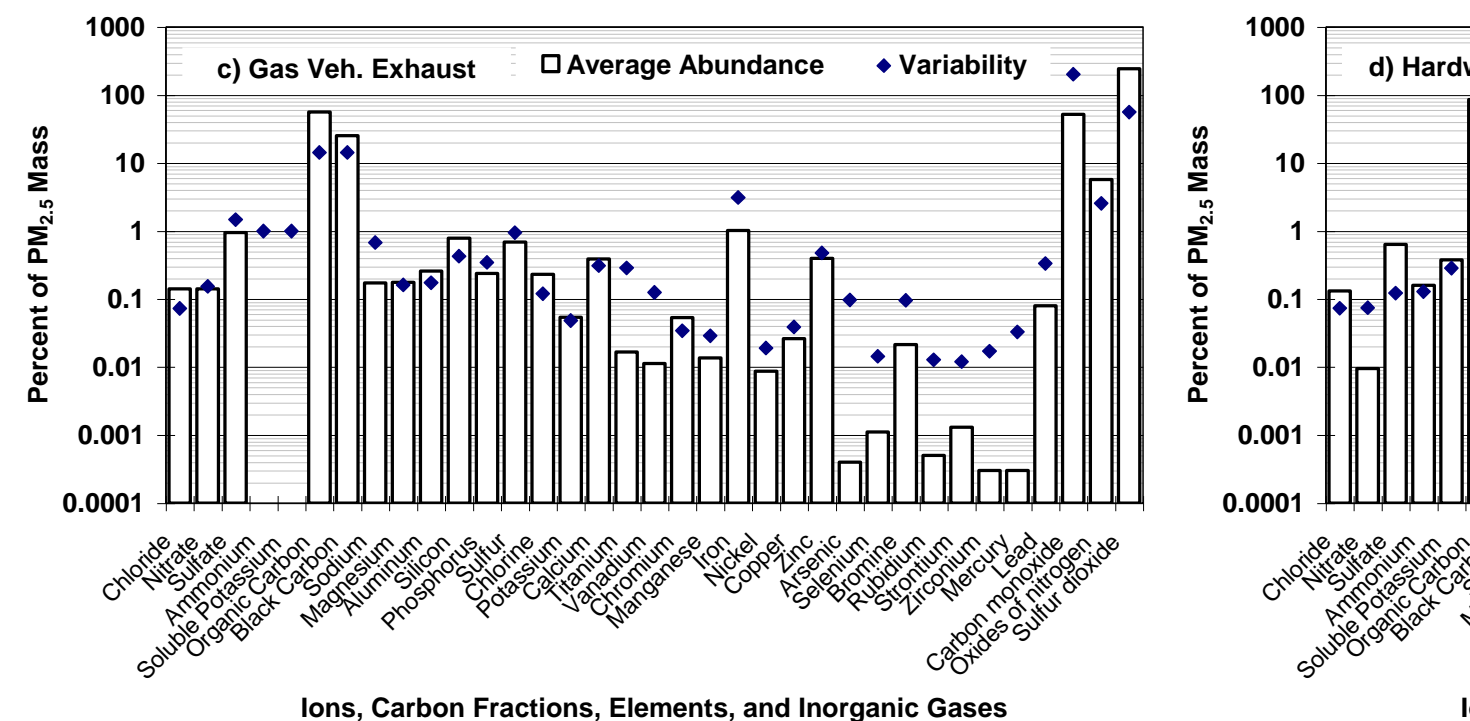
→ La concentration d'un constituant = combinaison linéaire des compositions d'une espèce chimique i aux sources j sur un site récepteur (logiciel EPA-CMB)

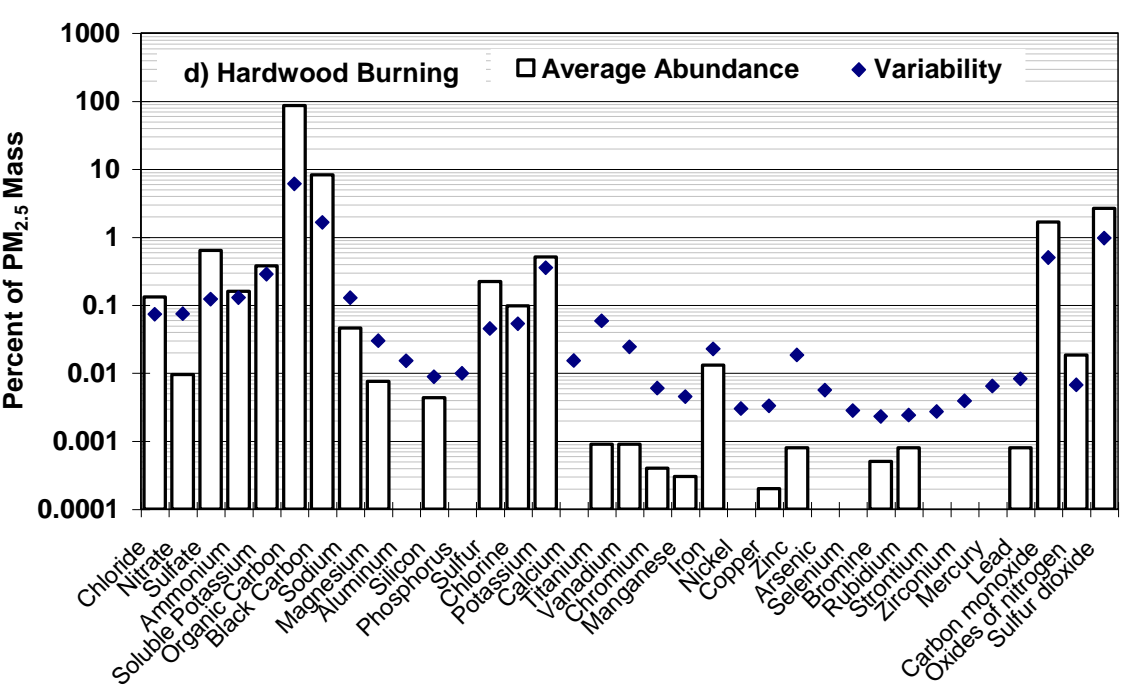
$$C_i = \sum_{j=1}^{J} F_{ij} S_j$$
 for  $i = 1$  to  $N$ 

Avec  $F_{ij}$ : profil de i sur les différentes sources et  $S_j$  = contribution inconnue de la source j

- → Nécessité d'une identification *a priori* des profils chimiques et des traceurs spécifiques de sources.
- → Il faut que l'espèce soit présente à la source pour être identifiée sur le site récepteur donc méthode adaptée exclusivement aux aérosols primaires

#### Les Profils de sources:

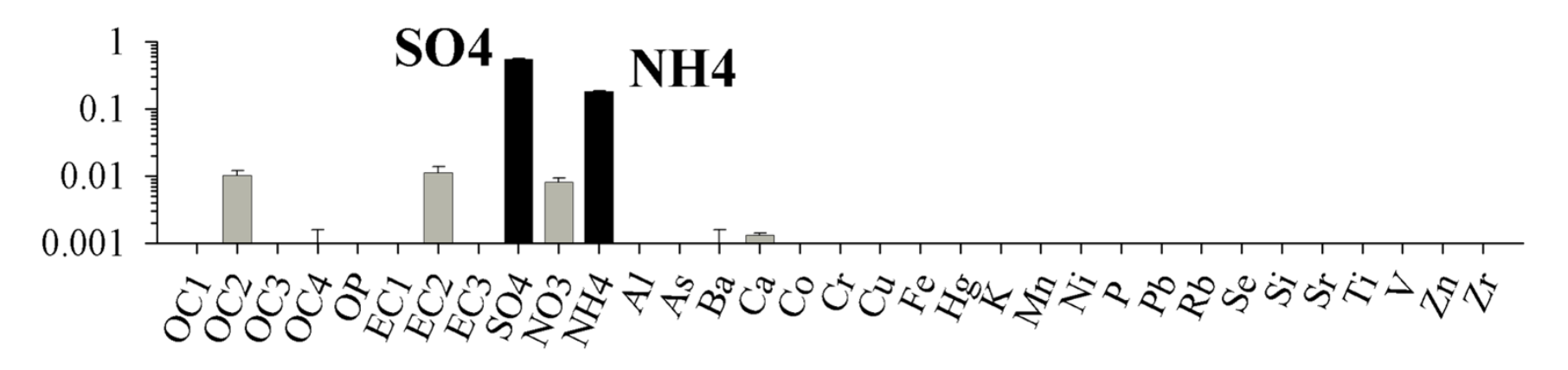


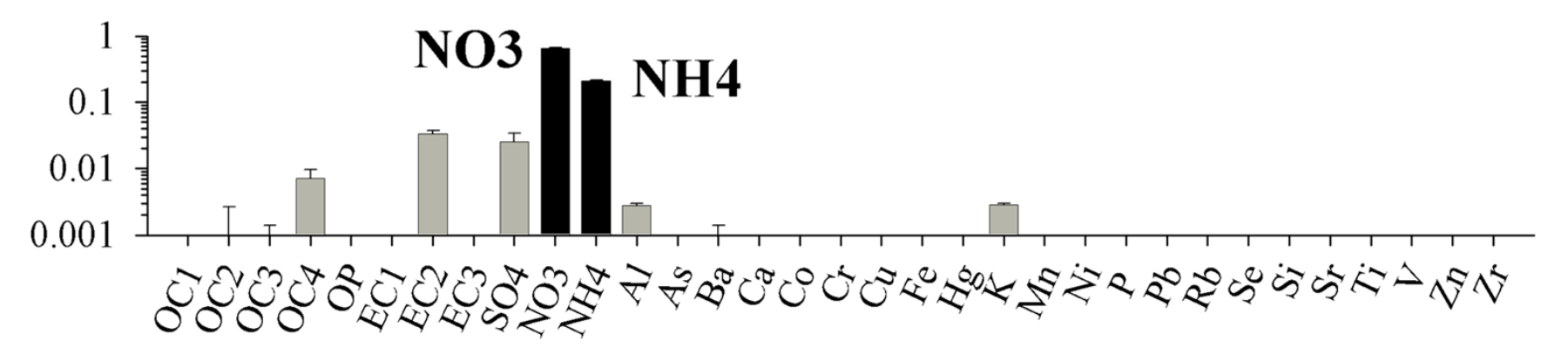


Ions, Carbon Fractions, Elements, and Inorganic Gases

#### 3.Les Profils de sources:

#### Cas des espèces secondaires





### 1. Le modèle CMB (Chemical Mass Balance):

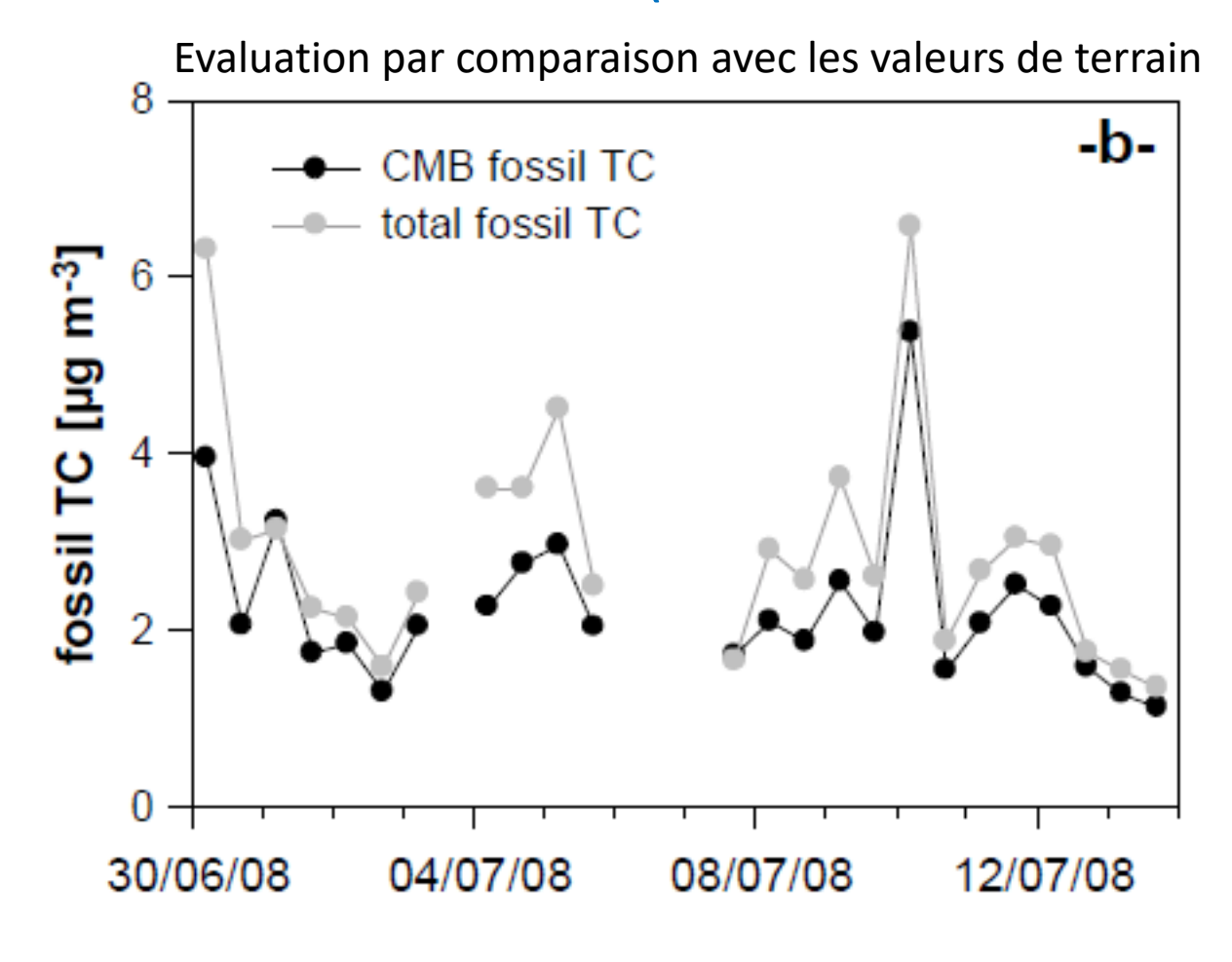
→ Solution CMB: minimiser la variance des données

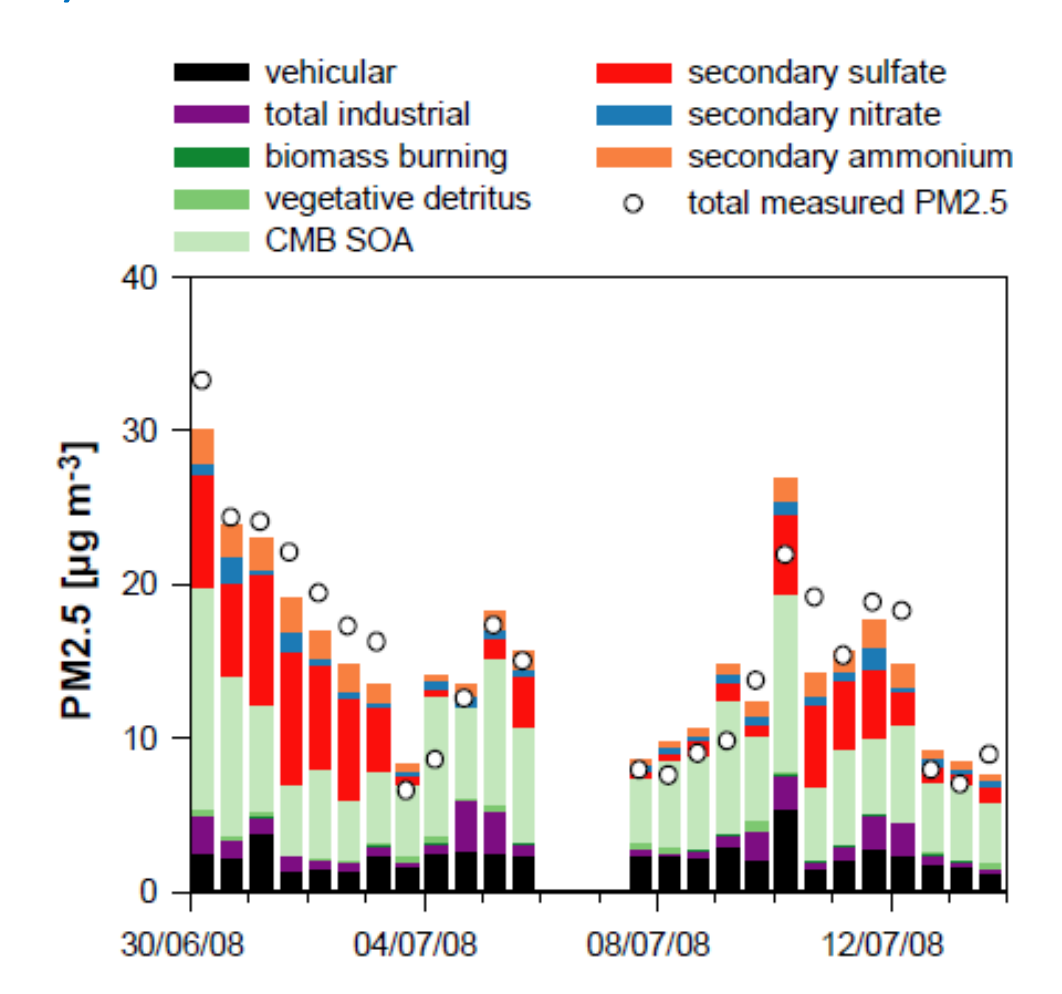
$$χ^2 = min Σ_i [(C_i - Σ_j F_{ij} S_j)^2 / (σ_{Ci}^2 + Σ_j σ_{Fij}^2 S_j^2)]$$
Effective Variance, Watson et al., (1984)

$$\chi^2 = \min \Sigma_i \left[ (C_i - \Sigma_j F_{ij} S_j)^2 / \sigma_{Ci}^2 \right]$$

Ordinary Weighted Least Squares, Friedlander (1973)

#### 1. Le modèle CMB (Chemical Mass Balance):





### 2. Le modèle PMF (Positive Matrix Factorization)

Principe: analyse factorielle des données (logiciel EPA-PMF)

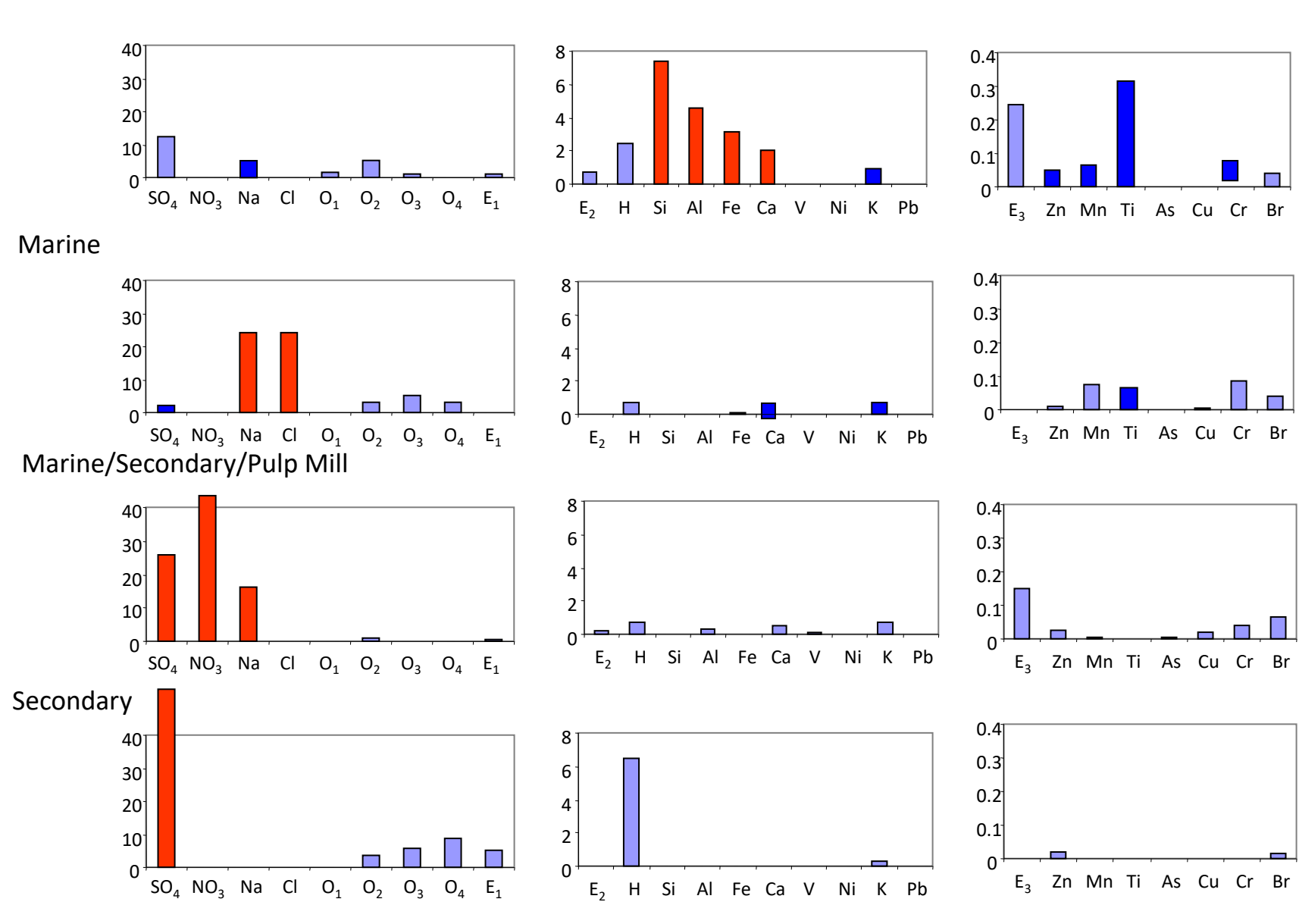
$$x_{ij} = \sum_{k=1}^{p} g_{ik} f_{kj} + e_{ij}$$

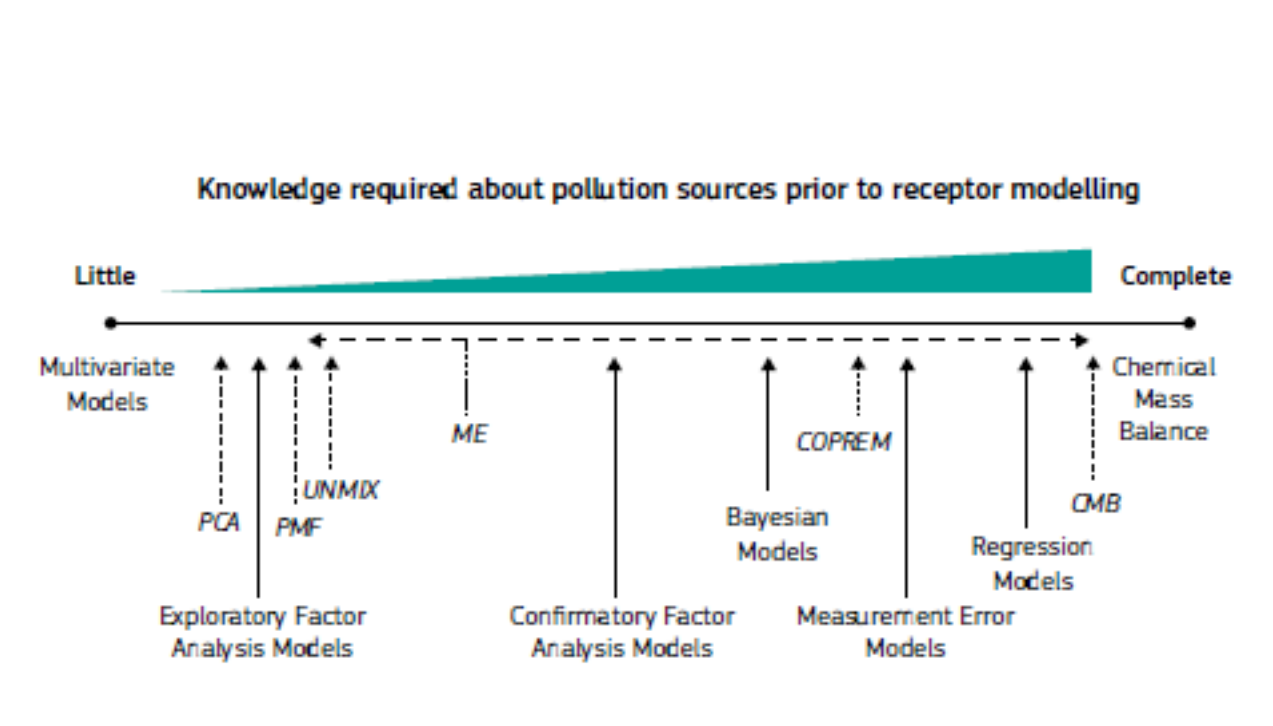
Avec x: la matrice de données, f matrice des profil de sources, g matrice des évolutions temporelles, e matrice résiduelle

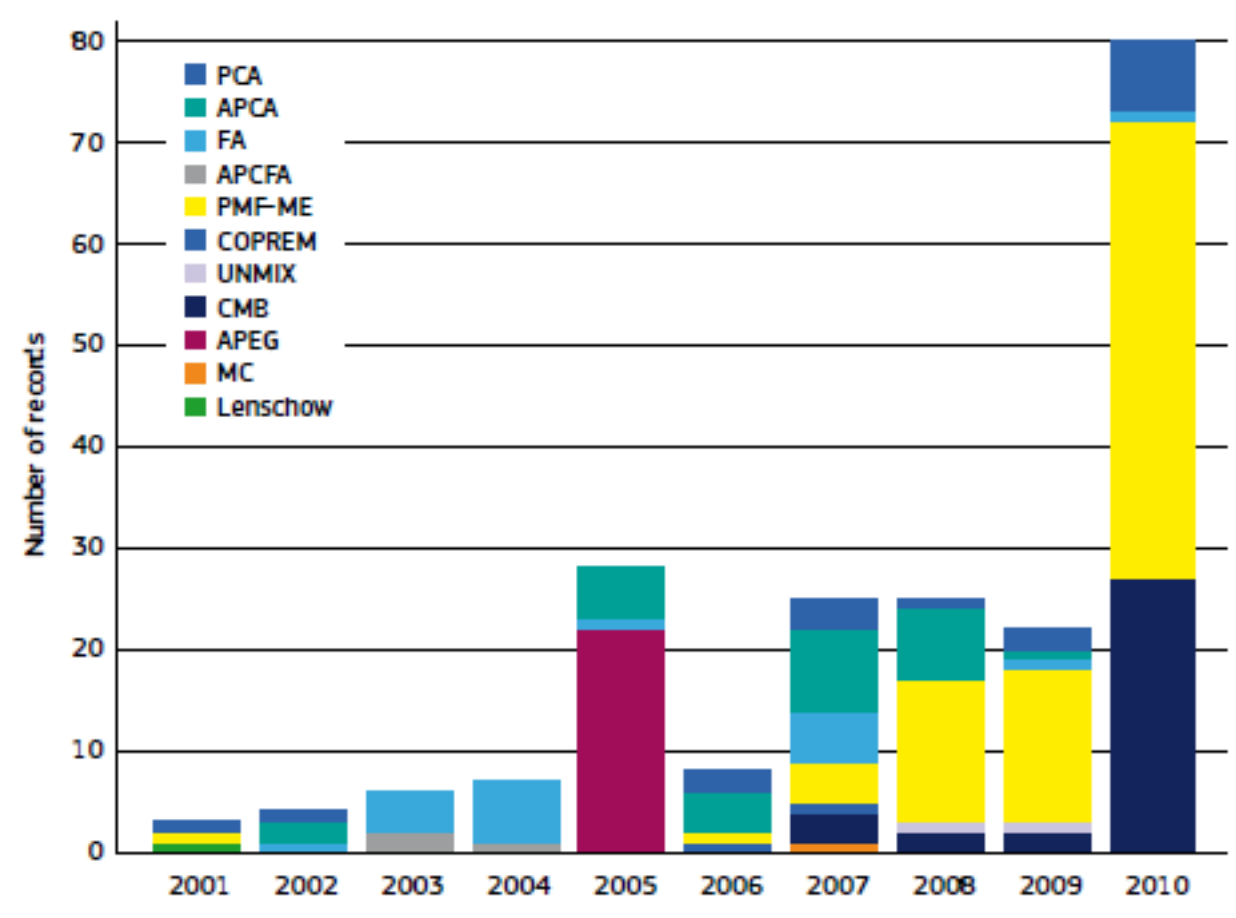
- → Prise en compte des données sous limites de détection et des valeurs manquantes
- → Pas besoin de profil *a priori*

#### Source Profiles from PMF (Mass %)

#### **Road Dust**







Evolution des modèles récepteurs en Europe depuis 2001